

Signale und Systeme

Vorlesung 7: Zweiseitige Laplacetransformation

Prof. Dr.-Ing. Sander Wahls | WS 25/26

Einleitung

- Wir werden heute eine Verallgemeinerung der Fouriertransformierten kennen lernen, die (**zweiseitige**) Laplacetransformation
- Die Laplacetransformation bietet Vorteile für die Analyse von Systemen:

- Einfache Charakterisierung von Systemeigenschaften mittels Polen
- Analyse instabiler Systeme wird möglich

- Es gibt auch eine einseitige Laplacetransformation, welche später im Kurs detailliert behandelt wird
- Viele Eigenschaften sind im ein- und zweiseitigem Fall gleich
- Wir konzentrieren uns daher auf Kernaspekte des zweiseitigen Falls



Pierre-Simon Laplace
(1749–1827)

Inhalt

1. Zweiseitige Laplacetransformation

2. Rationale Laplacetransformierte

3. Analyse von LTI Systemen im Laplacebereich

Zweiseitige Laplacetransformation

Die (zweiseitige) Laplacetransformation eines Signals $x(t)$ lautet

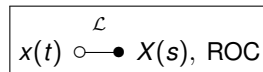
$$X(s) = \int_{-\infty}^{\infty} x(t)e^{-st}dt, \quad s \in \text{ROC} := \left\{ s \in \mathbb{C} : \begin{array}{l} \text{das Integral} \\ \text{konvergiert} \end{array} \right\},$$

wobei ROC den **Konvergenzbereich** bezeichnet.

ROC = engl. „region of convergence“

Für $s = j\omega$ erhalten wir die Fouriertransformation.

- Beispiele für Konvergenzbereiche: $\text{Re}(s) > 0, 1 < \text{Re}(s) < 2$
- Der Konvergenzbereich ist ein kritischer Teil der Transformierten. Es reicht aber i.d.R., einen Teil des Konvergenzbereichs zu kennen
- Wir schreiben wieder



Das „ \mathcal{L} “ lassen wir oft weg.

Zweiseitige Laplacetransformation

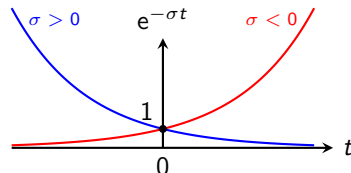
Beziehung zur Fouriertransformation

Die Laplacetransformation $X(s)$ entspricht der Fouriertransformation eines gedämpften bzw. verstärkten Signals:

$$z(t) = e^{-\sigma t} x(t) \quad \text{---} \bullet \quad Z(j\omega) = X(s)|_{s=\sigma+j\omega}.$$

- Der Faktor $e^{-\sigma t}$ verstärkt eine Hälfte des Signals und dämpft die andere:

	$t < 0$	$t > 0$
$\sigma > 0$	Verstärkung	Dämpfung
$\sigma < 0$	Dämpfung	Verstärkung



- Dieser Zusammenhang kann zur Inversion der Laplacetransformation genutzt werden, das ist aber oft nicht praktisch

Zweiseitige Laplacetransformation

Beispiel: Abgeschnittenes Exponential

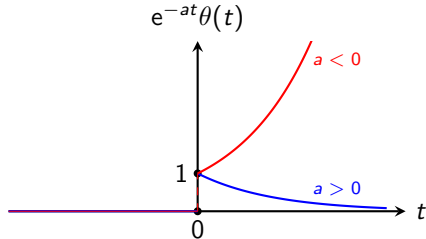
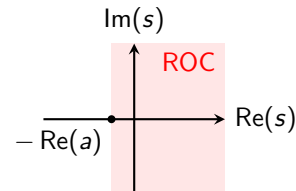


Illustration des Falls a reell.

Beachte: Während die Fouriertransformierte für $\operatorname{Re}(a) < 0$ nicht existiert, können wir die Laplacetransformierte bilden.

Für beliebige $a \in \mathbb{C}$ gilt

$$x(t) = e^{-at}\theta(t) \quad \circ\bullet \quad X(s) = \frac{1}{s+a}, \quad \operatorname{Re}(s) > -\operatorname{Re}(a)$$



Zweiseitige Laplacetransformation

Beispiel: Gespiegeltes abgeschnittenes Exponential

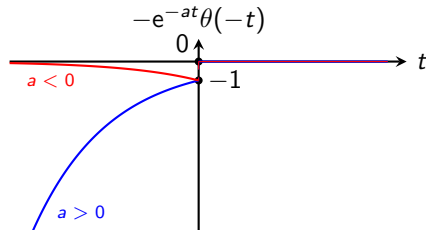
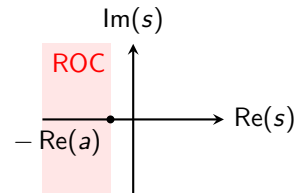


Illustration des Falls a reell.

Für beliebige $a \in \mathbb{C}$ gilt

$$x(t) = -e^{-at}\theta(-t) \quad \circlearrowleft \bullet \quad X(s) = \frac{1}{s+a}, \quad \operatorname{Re}(s) < -\operatorname{Re}(a)$$

- Die Transformierte ist wie im vorherigen Beispiel $\frac{1}{s+a}$
- Lediglich der Konvergenzbereich ist unterschiedlich
- Ohne den Konvergenzbereich können wir also nicht invertieren



Zweiseitige Laplacetransformation

Eigenschaften

- Die Laplacetransformation hat im Grunde die gleichen Eigenschaften wie die Fouriertransformation
- Man muss aber zusätzlich die Konvergenzbereiche betrachten

Die Linearitätseigenschaft wird z.B.

$$x_1(t) \xrightarrow{\bullet} X_1(s), \text{ ROC}_1, \quad x_2(t) \xrightarrow{\bullet} X_2(s), \text{ ROC}_2$$



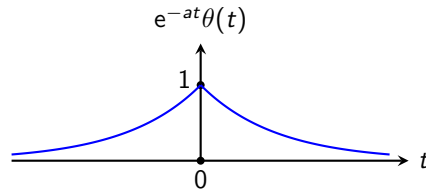
$$\alpha x_1(t) + \beta x_2(t) \xrightarrow{\bullet} \alpha X_1(s) + \beta X_2(s), \quad \text{ROC} \supseteq \text{ROC}_1 \cap \text{ROC}_2$$

- Siehe das Formelblatt für weitere Eigenschaften

$\text{ROC} \supseteq \text{ROC}_1 \cap \text{ROC}_2$ bedeutet, dass der ROC von $\alpha x_1 + \beta x_2$ mindestens alle s enthält, die sowohl im ROC von x_1 als auch im ROC von x_2 enthalten sind.

Zweiseitige Laplacetransformation

Beispiel



Für $a > 0$ gilt

$$e^{-a|t|} \circ \bullet \frac{2a}{a^2 - s^2}, \quad -\operatorname{Re}(a) < \operatorname{Re}(s) < \operatorname{Re}(a)$$

Rationale Laplacetransformatierte

Eine Funktion $X(s)$ ist **rational**, falls

$$X(s) = \frac{N(s)}{D(s)} = \frac{\text{Zählerpolynom}}{\text{Nennerpolynom}}$$

Hier einige Beispiele:

$$X(s) = \frac{s+2}{4s^2 + 3s - 1}, \quad X(s) = \frac{0.5s^7 - s^3 + 100s - 10}{1}, \quad X(s) = \frac{1}{s^4 - 1}$$

- Wir werden später oft Systeme betrachten, bei denen die Laplacetransformatierte der Impulsantwort rational ist
- Mit diesen kann man besonders effektiv arbeiten (auch numerisch)
- Es gibt aber auch Systeme mit irrationaler transformierter Impulsantwort

Rationale Laplacetransformierte

Nullstellen und Pole

Die Nullstellen einer rationalen Funktion

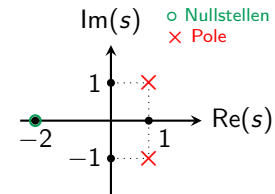
$$X(s) = \frac{N(s)}{D(s)}$$

sind die Nullstellen des Zählerpolynoms, also alle $s \in \mathbb{C}$ mit $N(s) = 0$. Die Pole sind die Nullstellen des Nennerpolynoms, also alle $s \in \mathbb{C}$ mit $D(s) = 0$.

Die rationale Funktion

$$X(s) = \frac{s+2}{s^2 - 2s + 2} = \frac{s+2}{[s - (1+j)][s - (1-j)]}$$

hat die Nullstelle -2 und Pole $1 \pm j$.



Dies ist ein sog. Pol-Nullstellen-Diagramm, welches die Nullstellen und Pole der rationalen Funktion zeigt.

Rationale Laplacetransformatierte

Pol-Nullstellenkompensation

Rationale Funktionen $X(s)$ sind durch ihre Nullstellen n_1, \dots, n_M und Pole p_1, \dots, p_N bis auf eine Konstante K eindeutig bestimmt:

$$X(s) = K \frac{(s - n_1)(s - n_2) \cdots (s - n_M)}{(s - p_1)(s - p_2) \cdots (s - p_N)}.$$

- Es ist manchmal möglich, Pole und Nullstellen zu kürzen:

$$\frac{(s - 1)(\cancel{s - 2})}{(\cancel{s - 2})(s + 3)} = \frac{s - 1}{s + 3}$$

- In solchen Fällen spricht man von **Pol-Nullstellenkompensation**
- Das Kürzen beeinflusst die inverse Laplacetransformation nicht

Wir nehmen immer an, dass gemeinsame Pol- und Nullstellen gekürzt wurden.

Rationaler Laplacetransformatierte

mit einfachen Nullstellen und Polen und $M < N$

Es sein $X(s)$ rational mit Nullstellen n_i und Polen p_j :

$$X(s) = K \frac{(s - n_1)(s - n_2) \cdots (s - n_M)}{(s - p_1)(s - p_2) \cdots (s - p_N)}.$$

Eine Nullstelle n_i ist **einfach**, falls $n_i \neq n_j$ für alle $i \neq j$. Ebenso ist ein Pol p_i einfache, falls $p_i \neq p_j$ für alle $i \neq j$.

Falls $X(s)$ rational ist mit $M < N$ und nur einfache Pole hat, so gilt

$$X(s) = \frac{A_1}{s - p_1} + \frac{A_2}{s - p_2} + \cdots + \frac{A_N}{s - p_N}.$$

Die Konstanten A_i bestimmt man mit Hilfe der Partialbruchzerlegung.

- Jeder Summand entspricht einem der beiden Paare

$$e^{-at}\theta(t) \circ \bullet \frac{1}{s+a}, \quad \operatorname{Re}(s) > -\operatorname{Re}(a)$$

$$-e^{-at}\theta(-t) \circ \bullet \frac{1}{s+a}, \quad \operatorname{Re}(s) < -\operatorname{Re}(a)$$

- Der ROC sagt uns, welches Paar wo angewandt werden muss ...

Rationaler Laplacetransformierte

mit einfachen Nullstellen und Polen und $M < N$ – Beispiel

Wir betrachten die rationale Laplacetransformierte

$$X(s) = \frac{1}{(s+1)(s+2)} = \underbrace{\frac{1}{s+1}}_{\text{Partialbruchzerlegung}} - \underbrace{\frac{1}{s+2}}.$$

Es gibt drei mögliche Konvergenzbereiche:

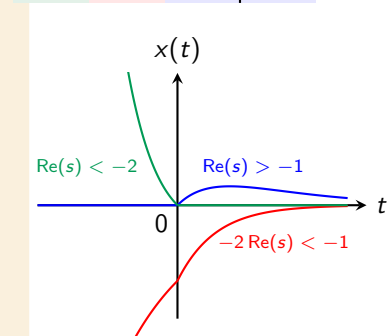
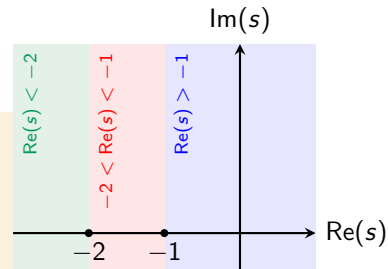
$$\text{Re}(s) > -1, \quad -2 < \text{Re}(s) < -1, \quad \text{Re}(s) < -2.$$

Mit Hilfe der Paare erhalten wir die Zeitbereichssignale:

$$\text{Re}(s) > -1 \Rightarrow x(t) = [e^{-t} - e^{-2t}] \theta(t),$$

$$-2 < \text{Re}(s) < -1 \Rightarrow x(t) = -e^{-t} \theta(-t) - e^{-2t} \theta(t),$$

$$\text{Re}(s) < -2 \Rightarrow x(t) = [-e^{-t} + e^{-2t}] \theta(-t).$$



- Einfache Methode, um rationale Laplacetransformierte zu invertieren

Rationale Laplacetransformatierte

Mögliche Konvergenzbereiche

Durch Verallgemeinerung des Beispiels erhält man folgendes Ergebnis.

Der Konvergenzbereich einer rationalen Laplacetransformierten $X(s) = N(s)/D(s)$ wird von Polen begrenzt.

Mögliche Formen sind vertikale Streifen, Halbebenen, ganz \mathbb{C} und die leere Menge.

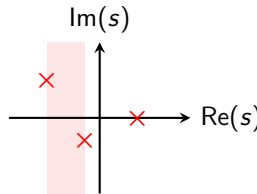
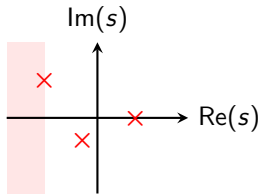
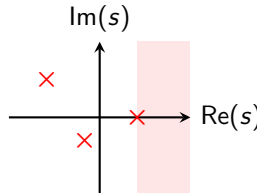
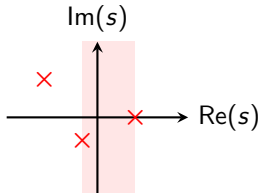
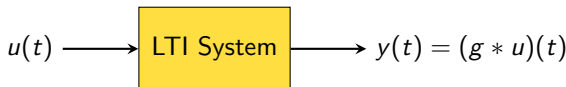


Illustration der möglichen Konvergenzbereiche einer rationalen Laplacetransformierte mit drei Polen.



Analyse von LTI Systemen im Laplacebereich

Faltungseigenschaft und Systemfunktion



Eine Faltung reduziert sich im Laplacebereich auf eine simple Multiplikation:

$$(g * u)(t) = \int_{-\infty}^{\infty} g(\tau)u(t - \tau)d\tau \xrightarrow{\bullet} G(s)U(s), \quad \text{ROC} \supseteq \text{ROC}_g \cap \text{ROC}_u$$

Es sei $y = S\{u\}$ ein LTI System. Dann ist die Laplacetransformierte der Impulsantwort $g = S\{\delta\}$ die **Systemfunktion** des Systems:

$$g(t) \xrightarrow{\bullet} G(s), \quad \text{ROC}.$$

Wir müssen nun nicht mehr annehmen, dass S stabil ist!

Die Laplacetransformierte des Ausgangssignals erhalten wir durch Multiplikation der Systemfunktion mit der Laplacetransformierten des Eingangssignals:

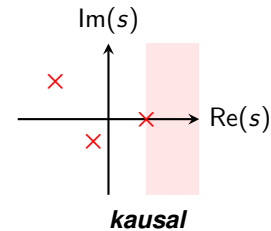
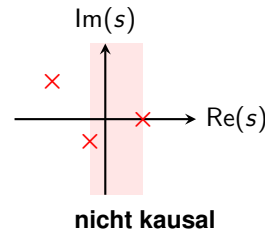
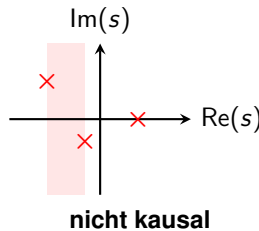
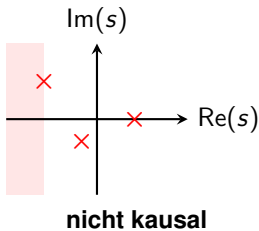
$$Y(s) = G(s)U(s), \quad \text{ROC} \supseteq \text{ROC}_g \cap \text{ROC}_u$$

Analyse von LTI Systemen im Laplacebereich

Kausale Systeme

- Wir erinnern uns, dass LTI Systeme kausal sind, g.d.w. die Impulsantwort $g(t) = 0$ für $t < 0$ erfüllt. Die Impulsantwort ist dann rechtsseitig mit $t_0 = 0$.

LTI Systeme mit rationaler Systemfunktionen sind genau dann **kausal**, wenn der Konvergenzbereich die Halbebene rechts des rechtensten Pols ist.



Analyse von LTI Systemen im Laplacebereich

Stabile Systeme

Ein LTI System mit rationaler Systemfunktion ist **stabil** genau dann, wenn der Konvergenzbereich der Systemfunktion die imaginäre Achse enthält:

$$\{j\omega : \omega \in \mathbb{R}\} \subseteq \text{ROC}.$$

